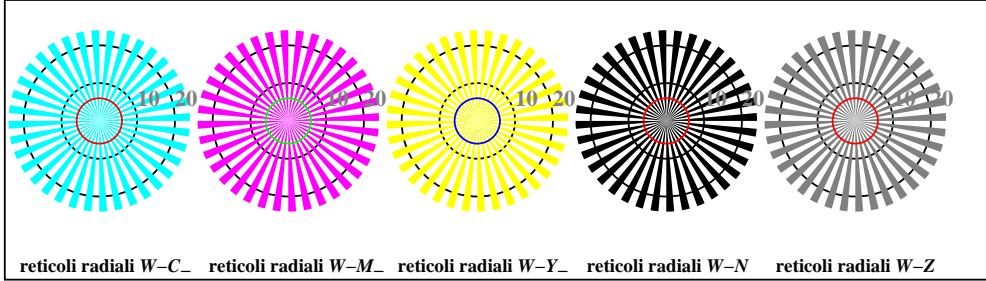
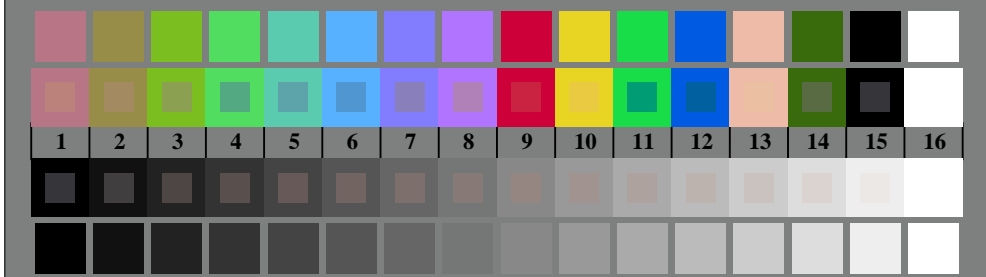
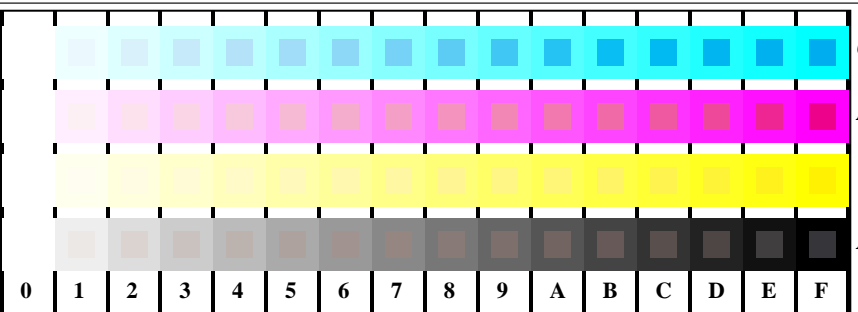




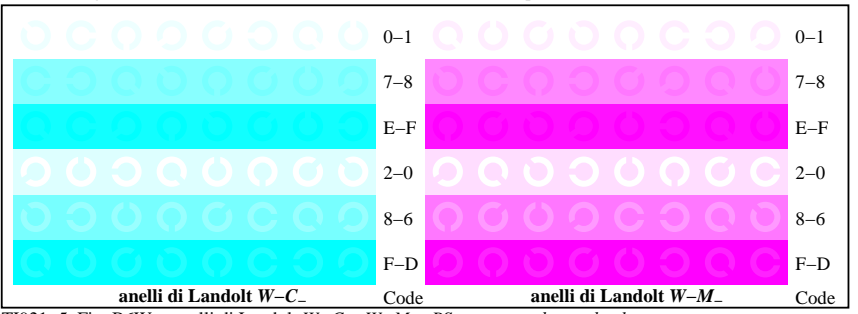
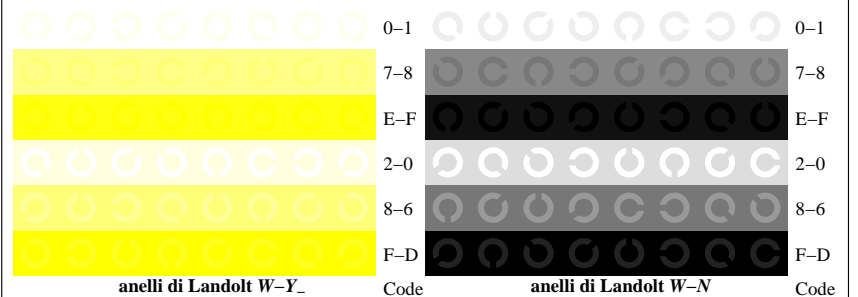
TI920-3, Fig. B1W-: motivo floreale, 14 prova colori CIE i 2 + 16 grigio passi (nf); PS 3 colorimage



reticolli radiali W-C_ reticolli radiali W-M_ reticolli radiali W-Y_ reticolli radiali W-N reticolli radiali W-Z

TI920-5, Fig. B2W-: reticolli radiali W-C_; W-M_; W-Y_; W-N; PS operator $rgb \rightarrow rgb_setrgbcolor$ TI920-7, Fig. B3W-: 14 prova colori CIE i 2 + 16 grigio passi (sf); $rgb/cmky0$ set($rgb/cmkyk$).colorGrafico TUB-TI92; 2(ISO/IEC 15775 & ISO/IEC TR 24705)
Tavola dei colori cromatici CMYKTI921-1, Fig. B4W-: 16 equidistante passi W-C_-; W-M_-; W-Y_-; W-N; $rgb/cmky0$ set($rgb/cmkyk$).color

+-.:	0	1	2	3	4	5	6	7	8	9	A	B	C	D	E	F
xyz;	lmno															
tuvw	hijk															
pqrs	defg															
!abc																
lmno	xyz;															
hijk	tuvw															
defg																
!abc																
10	N	C	M	Y	Z	N	C	M	Y	Z	N	C	M	Y	Z	N

TI921-3, Fig. B5W-: codice i Landolt anelli N; C_-; M_-; Y_-; Z; PS operator $rgb \rightarrow rgb_setrgbcolor$ TI921-5, Fig. B6W-: anelli di Landolt W-C_-; W-M_-; PS operator $rgb\ setrgbcolor$ TI921-7, Fig. B7W-: anelli di Landolt W-Y_-; W-N; PS operator $rgb\ setrgbcolor$

Input: $rgb/cmky$ \rightarrow $w/rgb/cmky$
Output: nessun cambiamento